

BAKER BOTTS LLP

Please type a plus sign (+) inside this box → ☐

TRANSMITTAL FORM

(to be used for all correspondence after initial filing)

TRANSMITTAL FORM (to be used for all correspondence after initial filing)	Application Number	10/648,710
	Filing Date	August 26, 2003
	First Named Inventor	Pierre Thore
	Group Art Unit	To be assigned
	Examiner Name	To be assigned
Total Number of Pages in This Submission	Attorney Docket Number	A35960-072853.0109

ENCLOSURES (check all that apply)

<input type="checkbox"/> Fee Transmittal Form <input type="checkbox"/> Fee Attached <input type="checkbox"/> Amendment / Reply <input type="checkbox"/> After Final <input type="checkbox"/> Affidavits/declaration(s) <input type="checkbox"/> Extension of Time Request <input type="checkbox"/> Express Abandonment Request <input type="checkbox"/> Information Disclosure Statement <input checked="" type="checkbox"/> Certified Copy of Priority Document(s) <input type="checkbox"/> Response to Missing Parts/ Incomplete Application <input type="checkbox"/> Response to Missing Parts under 37 CFR 1.52 or 1.53	<input type="checkbox"/> Assignment Papers (for an Application) <input type="checkbox"/> Drawing(s) <input type="checkbox"/> Licensing-related Papers <input type="checkbox"/> Petition <input type="checkbox"/> Petition to Convert to a Provisional Application <input type="checkbox"/> Power of Attorney, Revocation Change of Correspondence Address <input type="checkbox"/> Terminal Disclaimer <input type="checkbox"/> Request for Refund <input type="checkbox"/> CD, Number of CD(s) _____	<input type="checkbox"/> After Allowance Communication to Group <input type="checkbox"/> Appeal Communication to Board of Appeals and Interferences <input type="checkbox"/> Appeal Communication to Group (Appeal Notice, Brief, Reply Brief) <input type="checkbox"/> Proprietary Information <input type="checkbox"/> Status Letter <input type="checkbox"/> Other Enclosure(s) (please identify below): Return Receipt Postcard, Certified copy of European application
Remarks <input type="checkbox"/>		

SIGNATURE OF APPLICANT, ATTORNEY, OR AGENT

Firm or Individual name	BakerBotts LLP 30 Rockefeller Plaza New York, NY 10112	
Signature		Att Name: Gary Abelev PTO Reg: 40,479
Date	10/27/2003	

CERTIFICATE OF MAILING

I hereby certify that this correspondence is being deposited with the United States Postal Service with sufficient postage as first class mail in an envelope addressed to: Commissioner for Patents, PO Box 1450, Alexandria, VA 22313-1450 on this date: 10/27/2003

Typed or printed name	Gary Abelev		
Signature		Date	10/27/2003



**Eur päisches
Patentamt**

**Eur pean
Patent Office**

**Office européen
des brevets**

Bescheinigung

Certificate

Attestation

Die angehefteten Unterlagen stimmen mit der ursprünglich eingereichten Fassung der auf dem nächsten Blatt bezeichneten europäischen Patentanmeldung überein.

The attached documents are exact copies of the European patent application described on the following page, as originally filed.

Les documents fixés à cette attestation sont conformes à la version initialement déposée de la demande de brevet européen spécifiée à la page suivante.

Patentanmeldung Nr. Patent application No. Demande de brevet n°

02292099.5

Der Präsident des Europäischen Patentamts;
Im Auftrag

For the President of the European Patent Office

Le Président de l'Office européen des brevets
p.o.

R C van Dijk



Anmeldung Nr:
Application no.: 02292099.5
Demande no:

Anmeldetag:
Date of filing: 26.08.02
Date de dépôt:

Anmelder/Applicant(s)/Demandeur(s):

Totalfinaelf France
Tour Total,
24, cours Michelet
92800 Puteaux
FRANCE

Bezeichnung der Erfindung/Title of the invention/Titre de l'invention:
(Falls die Bezeichnung der Erfindung nicht angegeben ist, siehe Beschreibung.
If no title is shown please refer to the description.
Si aucun titre n'est indiqué se référer à la description.)

Procédé de calcul de réalisations maillées d'un réservoir

In Anspruch genommene Priorität(en) / Priority(ies) claimed /Priorité(s)
revendiquée(s)
Staat/Tag/Aktenzeichen/State/Date/File no./Pays/Date/Numéro de dépôt:

Internationale Patentklassifikation/International Patent Classification/
Classification internationale des brevets:

G01V1/00

Am Anmeldetag benannte Vertragstaaten/Contracting states designated at date of
filing/Etats contractants désignées lors du dépôt:

AT BE BG CH CY CZ DE DK EE ES FI FR GB GR IE IT LI LU MC NL PT SE SK TR

PROCEDE DE CALCUL DE REALISATIONS MAILLEES D'UN RESERVOIR

La présente invention concerne le domaine de la géologie et plus
5 particulièrement de l'exploration pétrolière.

Il est connu, notamment dans l'exploration pétrolière, de déterminer la position
des réservoirs pétroliers à partir des résultats de mesures géophysiques effectuées
depuis la surface ou dans des puits de forage. Ces mesures impliquent typiquement
l'émission dans le sous-sol d'une onde et la mesure des diverses réflexions de l'onde
10 sur les structures géologiques recherchées – surfaces séparant des matériaux distincts,
failles, etc (technique de la sismique réflexion). D'autres mesures sont effectuées
depuis des puits. On envoie alors dans le sous-sol, des ondes acoustiques, des
rayonnements gamma ou des signaux électriques. Ces techniques impliquent le
traitement des mesures pour reconstituer un modèle du sous-sol. Le traitement des
15 mesures est affecté d'incertitudes de diverses natures. Pour la sismique réflexion :

Une première incertitude est l'incertitude de pointé. On appelle pointé pour des
mesures géophysiques le suivi sur les images ou sur les sections sismiques
successives fournies par traitement des mesures d'un marqueur sismique, par
exemple un horizon géologique, pour définir une surface. Il est possible pour
20 l'opérateur de confondre des marqueurs voisins ou encore d'associer des marqueurs
qui ne font pas partie d'une même surface. L'incertitude de pointé peut être de
quelques mètres à quelques dizaines de mètres; la valeur de quelques mètres
correspond peu ou prou à la résolution, i.e. à la largeur des impulsions des signaux
émis dans le sous-sol; la valeur de quelques dizaines de mètres correspond à une
25 erreur de positionnement d'un marqueur sismique.

Une autre incertitude est l'incertitude sur le champ de vitesses dans le sous-sol.
La remise en profondeur des mesures sismiques effectuées dans le domaine temps
(cette remise en profondeur permet de passer d'une représentation temporelle à une
représentation spatiale; la représentation temporelle est celle fournie par les
30 instruments de mesure – qui mesurent typiquement les réflexions de l'onde émise. La
représentation spatiale est obtenue à partir d'hypothèses sur le champ de vitesses dans
le sous-sol. Elle suppose en effet des hypothèses sur la nature des matériaux traversés
et sur la vitesse de propagation de l'onde dans ces matériaux. Or une hypothèse de
champ de vitesse est affectée d'une incertitude. Cette incertitude sur le champ de
35 vitesses peut conduire à des incertitudes de position de l'ordre de 50 mètres.

Une autre incertitude est l'incertitude due à la migration. On appelle
"migration" dans ce domaine l'opération qui permet de repositionner correctement les
événements dans l'espace. L'incertitude sur la migration est fonction du contexte

géologique; elle peut être quasiment nulle pour des structures tabulaires ou quasitabulaires et atteindre des centaines de mètres pour des structures complexes, comme des dômes de sel avec des parois verticales ou quasi-verticales.

La présence de structures particulières – des failles par exemple – atténuant la
5 réflexion ou provoquant des diffractions de l'onde émise provoque encore d'autres
incertitudes.

Il est possible de relever grâce aux mesures effectuées dans les puits les limites de structures géologiques. L'information ainsi obtenue est aussi entachée d'incertitudes; ces incertitudes proviennent essentiellement des mesures de position du puits.

Des incertitudes de calage sont dues au report des limites de structures géologiques mesurées dans le puits sur toute section sismique intersectant le puits; elles proviennent pour l'essentiel des problèmes de résolution.

FR-A-2 797 329 propose une méthode d'élaboration de cartes de probabilité de
15 position d'impact d'un puits. Ce document contient une discussion des incertitudes
liées aux migrations temps et profondeur et des erreurs de position correspondantes.

Compte tenu de ces incertitudes, le traitement de mesures géophysiques peut conduire à proposer plusieurs réalisations des structures du sous-sol. Pour des réservoirs – qui sont les structures recherchées par l'exploration pétrolière – on propose des surfaces représentatives du toit du réservoir, de la base du réservoir et d'interfaces entre des couches intermédiaires. Une réalisation est alors constituée d'un ensemble possible de surfaces représentant le réservoir, correspondant à un ensemble d'hypothèses. Typiquement, en exploration pétrolière, on fournit jusqu'à 300 réalisations correspondant aux différentes hypothèses possibles. A titre indicatif, la fourniture d'une réalisation (dite réalisation de référence) à partir des résultats de mesures géophysiques est une opération qui même avec l'assistance d'un outil logiciel, correspond à un travail considérable, pouvant atteindre 1 mois/homme pour un spécialiste routiné; lorsque la sismique a été interprétée, la construction d'une description surfacique d'un réservoir peut prendre une semaine ou plus. La collection des incertitudes représente également une semaine, leur intégration dans un logiciel une journée et le calcul des réalisations quelques heures. . Sur une superficie globale de 20 km², une surface peut être représentée par des triangles de 100 m de côté, soit donc quelques milliers de points par surface. Une réalisation peut impliquer outre les surfaces du toit et de la base du réservoir, 1 à 5 surfaces intermédiaires.

35 FR-A-2 652 180 décrit un procédé de modélisation de surfaces. Il est suggéré d'utiliser une description informatique maillée des surfaces. A certains des nœuds de la surface maillée sont associées des contraintes – représentatives par exemple de la position connue de certains nœuds ou d'une incertitude donnée sur la position de

certaines nœuds. La description informatique de la surface est ensuite adaptée aux contraintes, en utilisant une méthode appelée "Discrete Smooth Interpolation" (DSI).

Par ailleurs, pour représenter les propriétés pétrophysiques d'un réservoir, on utilise une grille ou modèle volumique maillé, comme décrit dans le brevet US-A-4 821 164. Le procédé décrit dans ce document comprend des étapes de construction d'un plan séparé pour chacune des surfaces critiques limitant le volume et de construction de couches de cellules en fonction de la structure stratigraphique. Le modèle volumique maillé comprend ainsi un nombre de plan supérieur au nombre de surfaces critiques. La mise en œuvre d'un tel modèle volumique implique aussi un travail conséquent. Un modèle volumique peut présenter de 200 000 à un million de points, sur une trentaine de plans successifs. La fourniture d'une grille peut représenter un travail de 1 à 2 mois/homme.

Il existe donc un besoin d'une solution qui permette de fournir simplement, pour des réalisations obtenues à partir des mesures géophysiques, des grilles, autrement dit des modèles maillés des réalisations.

Dans un mode de réalisation, l'invention propose en conséquence un procédé de calcul d'une description maillée d'une réalisation d'un réservoir, la réalisation comprenant une pluralité des surfaces stratigraphiques, le procédé comprenant :

- la fourniture

- d'une réalisation de référence du réservoir, la réalisation de référence comprenant une pluralité de surfaces stratigraphiques;
 - d'une description maillée de référence pour la réalisation de référence; la description de référence comprenant une pluralité de plans dont certains décrivent les surfaces stratigraphiques chaque plan comportant une pluralité de points; et
 - d'au moins deux surfaces stratigraphiques de la réalisation correspondant à deux surfaces stratigraphiques de la réalisation de référence;
- pour deux points homologues des deux plans décrivant les deux surfaces stratigraphiques de la réalisation de référence
- le calcul des points sous-jacents des deux surfaces stratigraphiques de la réalisation de référence;
 - le calcul des déplacements des points sous-jacents dans le passage des deux surfaces stratigraphiques de la réalisation de référence aux deux surfaces stratigraphiques correspondantes de la réalisation; les deux points sous-jacents déplacés constituant deux points homologues des plans de la description maillée décrivant les deux surfaces stratigraphiques de la réalisation;

- la fourniture de plans de la description maillée par interpolation entre les points homologues de ces deux plans.

Dans un mode de mise en œuvre, les deux surfaces stratigraphiques de la réalisation comprennent la surface de toit et/ou la surface de base de la réalisation.

5 L'interpolation peut aussi comprendre, pour une autre surface stratigraphique de la réalisation et pour deux points homologues des plans de la description maillée, le calcul de l'intersection entre l'autre surface stratigraphique et une droite passant par les deux points homologues, l'intersection constituant un point du plan de la description maillée décrivant l'autre surface stratigraphique.

10 L'interpolation peut aussi comprendre, pour deux points homologues de deux plans de la description maillée décrivant des surfaces stratigraphiques adjacentes, la fourniture d'un point d'un autre plan sur la droite reliant ces deux points homologues, dans les mêmes proportions de longueur que dans la description maillée de référence.

15 Dans le cas où les plans de la description maillée de référence s'étendent entre deux plans décrivant des surfaces stratigraphiques adjacentes sont parallèles, l'interpolation peut comprendre, pour deux points homologues de ces deux plans, la fourniture d'un point d'un autre plan sur la droite reliant ces deux points homologues de sorte que les plans de la description maillée correspondant aux plans parallèles de la description maillée de référence soient parallèles.

20 La description maillée de référence peut aussi comprendre au moins un point irrégulier avec au moins deux positions; dans ce cas, le calcul d'un point irrégulier correspondant de la description maillée comprend :

- la recherche de points réguliers de la description maillée de référence voisins d'une position du point irrégulier ;
- 25 - le calcul d'une position du point irrégulier correspondant dans la description maillée à partir des déplacements des points réguliers voisins entre la description maillée de référence et la description maillée.

L'invention propose encore un programme de calcul d'une description maillée d'une réalisation d'un réservoir, la réalisation comprenant une pluralité de surfaces stratigraphiques, le programme comprenant :

- 30 - une routine d'introduction
- d'une réalisation de référence du réservoir, la réalisation de référence comprenant une pluralité de surfaces stratigraphiques;
 - d'une description maillée de référence pour la réalisation de référence; la description de référence comprenant une pluralité de plans dont certains
 - 35 décrivent les surfaces stratigraphiques, chaque plan comportant une pluralité de points, et

- d'au moins deux surfaces stratigraphiques de la réalisation correspondant à deux surfaces stratigraphiques de la réalisation de référence;
- une routine de calcul, pour deux points homologues des deux plans décrivant les deux surfaces stratigraphiques de la réalisation de référence
- 5 - des points sous-jacents des deux surfaces stratigraphiques de la réalisation de référence;
- des déplacements des points sous-jacents dans le passage des deux surfaces stratigraphiques de la réalisation de référence aux deux surfaces stratigraphiques correspondantes de la réalisation;
- 10 - les deux points sous-jacents déplacés constituant deux points homologues des plans de la description maillée décrivant les deux surfaces stratigraphiques de la réalisation ;
- une routine de calcul de plans de la description maillée par interpolation entre les points homologues de ces deux plans.
- 15 Les routines peuvent aussi être adaptées à la mise en œuvre des différentes variantes du procédé.
- D'autres caractéristiques et avantages de l'invention apparaîtront à la lecture de la description détaillée qui suit des modes de réalisation de l'invention, donnés à titre d'exemple uniquement et en références aux dessins qui montrent :
- 20 - figure 1, une représentation schématique d'un réservoir avec les surfaces d'une réalisation;
- figure 2, une représentation schématique en coupe dans un plan vertical des surfaces de deux réalisations et des plans d'une grille de référence correspondant à l'une des réalisations;
- 25 - figures 3 à 6, un ordinogramme des étapes d'un procédé selon un premier mode de mise en œuvre de l'invention;
- figure 7, une représentation schématique analogue à celle de la figure 2, montrant la grille calculée selon le procédé des figures 3 à 6;
- figure 8, une représentation schématique d'un nœud de faille dans une description
- 30 maillée;
- figure 9, une représentation des étapes d'un procédé appliqué aux nœuds de faille dans un mode de réalisation de l'invention.

L'invention propose de déterminer la grille ou modèle maillé d'une réalisation à partir de la grille ou modèle maillé déjà déterminée pour les surfaces d'une autre

35 réalisation. Elle repose sur la constatation que les différentes réalisations dérivent des mêmes données géophysiques et que les similitudes entre des réalisations sont suffisantes pour éviter de calculer à nouveau l'ensemble de la grille pour une nouvelle réalisation.

Les notations suivantes sont utilisées dans la suite de la description. On note $S^0_1, S^0_2, \dots, S^0_n$, les surfaces d'une réalisation R^0 , dite réalisation de référence, pour laquelle on dispose d'une grille. Dans cette réalisation de référence, S^0_1 est la surface de toit, S^0_n est la surface de base et $S^0_i, 1 < i < n$, sont les surfaces intermédiaires.

5 Comme indiqué plus haut, n a une valeur typiquement comprise entre 3 et 7 – la réalisation présentant de 1 à 5 surfaces intermédiaires. On appelle dans la suite "couche" le volume s'étendant entre deux surfaces de la réalisation. Chaque surface S^0_i peut être représentée par un ensemble de points M^0_{ij} .

10 On considère par exemple un repère dans lequel la direction z est la verticale orientée vers le bas, les directions x et y fournissant l'horizontale. Le nombre de points pour une surface peut typiquement atteindre plusieurs milliers. Comme expliqué plus haut, à chaque point peut être associée une ou plusieurs incertitudes, habituellement exprimées sous forme d'un vecteur. La représentation des surfaces de la réalisation de référence comme des autres réalisations est sans incidence sur le
15 procédé décrit. On considère à titre d'exemple dans la suite une représentation des surfaces S^0_i par des points M^0_{ij} .

La grille G^0 associée à la réalisation de référence est notée $G^0_1, G^0_2, \dots, G^0_m$ et est qualifiée dans la suite de grille de référence. Dans cette notation G^0_j désigne un plan de la grille. Un tel plan peut s'appuyer sur une surface S^0_i de la réalisation; il
20 peut aussi s'agir d'un plan s'étendant dans une couche entre deux surfaces de la réalisation. L'utilisation du terme "plan" n'implique en aucune façon que les "plans" G^0_i présentent la structure géométrique d'un plan au sens classique de ce terme en mathématiques: en revanche, les "plans" G^0_i présentent la structure topologique du plan au sens classique. La grille de référence est formée d'un ensemble de points
25 $N^0_{g,h,i}$ de coordonnées (u_g, v_h, w_i) . Les points (u_g, v_h, w_i) pour une valeur fixe de i représentant la modélisation de la surface S^0_i . Les indices g et h sont des indices entiers dont les valeurs sont fonction du nombre de points dans la grille pour le plan G^0_i . On comprend de cette notation que la grille présente pour chaque plan une topologie similaire. On notera que les points de plans voisins peuvent être confondus,
30 par exemple lorsque les surfaces sous-jacentes sont en biseau et qu'une couche disparaît. La similitude entre les topologies des plans n'exclut donc pas une variété de la géométrie de ces plans.

Cette hypothèse d'homologie dans la modélisation simplifie les calculs, mais n'est en rien indispensable à la mise en œuvre de l'invention. Deux points (u_g, v_h, w_{i1})
35 et (u_g, v_h, w_{i2}) , pour deux valeurs $i1$ et $i2$ différentes peuvent être qualifiées d'homologues dans les surfaces S^0_{i1} et S^0_{i2} ; autrement dit, du point de vue géologique, ils correspondent à une sédimentation sur un même point. On appelle alors "pilier" un ensemble de points (u_g, v_h, w_i) , pour des valeurs g et h fixes et une

valeur de i variant de 1 à m . Le pilier est noté $P_{g,h}^0$. Du point de vue qualitatif, un pilier est constitué d'un ensemble de points superposés suivant la direction de sédimentation -- avant déformation éventuelle. Cette hypothèse sur la grille n'est pas indispensable à la réalisation de l'invention, comme décrit dans la suite; il s'agit
 5 toutefois d'un mode de réalisation correspondant à une grille fournie selon les solutions de l'état de la technique.

On note $S_1^k, S_2^k, \dots, S_n^k$ les surfaces d'une autre réalisation R^k . La réalisation R^k est représentée par des points, tout comme la réalisation de référence; dans cette première représentation, la surface S_i^k est représentée par un ensemble de points
 10 M_{ij}^k , correspondant aux points M_{ij}^0 . On peut aussi représenter la réalisation par l'ensemble des points M_{ij}^0 de la réalisation de référence, assorties d'un tirage des déplacements de chacun de ces points pour atteindre l'autre réalisation; cette deuxième représentation de l'autre réalisation correspond en fait à des valeurs corrélées des incertitudes aux différents points. Dans une représentation comme dans
 15 l'autre, il est possible de définir une homologie entre les points des deux réalisations : deux points des deux réalisations sont homologues dans la mesure où ils représentent le même point de la structure géologique sous-jacente, dans deux hypothèses correspondant aux deux réalisations. Pour la description de l'invention, on considère dans la suite la première représentation.

20 Comme expliqué plus haut, le problème de l'invention est de disposer d'une grille ou modèle maillé pour cette réalisation R^k . L'invention propose de fournir cette grille à partir de la grille de référence G^0 .

La figure 1 montre une représentation schématique d'un réservoir avec les surfaces de la réalisation de référence R^0 . On a représenté sur la figure les axes x, y et
 25 z du repère, ainsi que les surfaces $S_1^0, S_2^0, \dots, S_n^0$ de la réalisation R^0 , dans un exemple avec le nombre n de surfaces limité à 3 pour des raisons de clarté de la figure. On a en outre représenté sur la figure 1 le maillage G_1^0 du plan s'appuyant sur la surface de toit S_1^0 de la réalisation; du fait que le plan G_1^0 s'appuie sur la surface S_1^0 , celle-ci est difficilement visible sur la figure. La figure montre encore un plan de
 30 faille F traversant le réservoir; des détails sur les failles sont donnés plus bas. Enfin, on a représenté, mais uniquement sur le bord du réservoir situé sur l'avant dans la vue en perspective de la figure 1, les plans G_2^0 à G_m^0 , en traçant les piliers correspondants. Pour la clarté de la figure, on n'a pas représenté les autres points de ces plans.

35 La figure 2 montre une représentation schématique en coupe dans un plan vertical des surfaces de deux réalisations et des plans d'une grille de référence; dans une situation réelle, il n'y a aucune raison pour que les points des surfaces ou les points de la grille soient dans un plan comme celui de la figure 2. La figure 2 n'est

donc pas représentative de ce point de vue d'une situation réelle, mais n'a pour but que de permettre l'explication.

La figure 2 montre un exemple simple d'une réalisation de référence R^0 présentant deux couches définies par les surfaces S^0_1 , S^0_2 et S^0_3 . Ces surfaces sont représentées en gras sur la figure 2. La grille de référence G^0 présente neuf plans G^0_1 à G^0_9 . Les plans G^0_1 , G^0_6 et G^0_9 "s'appuient" sur les surfaces S^0_1 , S^0_2 et S^0_3 , autrement dit sont des modélisations de ces surfaces; ils ne sont pas montrés sur la figure pour des raisons de clarté, dans la mesure où ils sont très proches des surfaces sur lesquelles ils s'appuient. Les plans G^0_2 à G^0_5 sont des plans intermédiaires, dans la couche définie entre les surfaces S^0_1 et S^0_2 ; dans cette couche, les plans sont parallèles à la surface inférieure de la couche, ce qui correspond à une hypothèse de sédimentation sur la couche S^0_2 et d'érosion par la couche S^0_1 . Les plans G^0_7 et G^0_8 sont des plans intermédiaires, dans la couche définie entre les surfaces S^0_2 et S^0_3 ; dans cette couche, les plans sont répartis de manière proportionnelle; ce qui correspond à une subsidance pendant la sédimentation. Autrement dit, les points d'un pilier sont régulièrement répartis dans la couche. La figure montre aussi la réalisation R^k ; elle présente aussi trois surfaces S^k_1 , S^k_2 et S^k_3 , représentées en pointillés sur la figure 2. Ces surfaces sont proches des surfaces correspondantes de la réalisation de référence.

La figure montre encore un pilier $P^0_{g,h}$ de la grille de référence. Ce pilier est une droite, qui dans l'exemple passe dans le plan de la figure. On n'a référencé sur la figure que les points $N^0_{g,h,2}$ et $N^0_{g,h,8}$, pour plus de clarté.

Comme expliqué plus haut, le problème de l'invention est de calculer ou définir à partir de la réalisation de référence R^0 , de la grille de référence G^0 une grille pour la réalisation G^k . Le procédé qui permet de définir cette grille est expliqué en référence aux figures 3 à 6, en utilisant les éléments de la figure 2.

Les figures 3 à 6 montrent un ordinogramme des étapes d'un procédé selon un premier mode de mise en œuvre de l'invention. Dans ce mode de réalisation, les piliers $P^0_{g,h}$ sont des droites. Cette caractéristique correspond à une contrainte de construction de la grille, qui est utile pour permettre l'utilisation de logiciels de calculs d'écoulement de fluide dans le réservoir.

Sur la figure 3, à la première étape 2, on fournit la réalisation de référence R^0 , la grille de référence G^0 associée à cette réalisation, ainsi que la réalisation R^k pour laquelle on souhaite obtenir une nouvelle grille. Cette étape rappelle les éléments de départ du procédé.

A l'étape suivante 4, on considère un pilier $P^0_{g,h}$ de la grille R^0 ; par exemple on peut considérer lors de la première itération le pilier $P^0_{1,1}$.

Aux étapes 6 et 8, on détermine un déplacement de ce pilier, lorsque l'on passe de la réalisation R^0 à la réalisation R^k . On peut pour cela considérer le déplacement des intersections du pilier avec les surfaces de toit S^0_1 et de base S^0_n lors du passage de la réalisation R^0 à la réalisation R^k . Les intersections du pilier avec les surfaces de
5 toit S^0_1 et de base S^0_n sont en fait les points de ces surfaces sous-jacents aux extrémités du pilier, autrement dit les points des surfaces qui sont représentés par les extrémités du pilier dans la réalisation R^0 . On pourrait utiliser une autre méthode pour déterminer les points sous-jacents, par exemple en considérant le point de la surface le plus proche d'une extrémité du pilier.

10 A l'étape 6, on détermine l'intersection du pilier avec les surfaces de toit S^0_1 et de base S^0_n dans la représentation de référence. On peut pour cela simplement considérer les extrémités du pilier, c'est-à-dire les points $N^0_{g,h,1}$ et $N^0_{g,h,n}$ et calculer les intersections $I^0_{g,h,1}$ et $I^0_{g,h,n}$ de la droite passant par ces deux points avec les surfaces S^0_1 et S^0_n . Si l'on utilise pour la représentation de la réalisation R^0 un
15 maillage avec des faces triangulaires, ceci revient à déterminer l'intersection de la droite passant par les points $N^0_{g,h,1}$ et $N^0_{g,h,m}$ avec une des faces de la surface. Le point $I^0_{g,h,1}$ s'exprime comme un barycentre des trois sommets $M^0_{1,r1}$, $M^0_{1,r2}$ et $M^0_{1,r3}$ de la face triangulaire de la surface S^0_1 traversée par le pilier, avec des coefficients α_1 , β_1 et γ_1 . Il en est de même pour le point $I^0_{g,h,m}$, avec des coefficients α_m , β_m et γ_m .
20 Bien entendu, si les extrémités du pilier sont aussi des points de la surface, il suffit de considérer les points en cause – qui reste un barycentre avec des coefficients particuliers. Comme indiqué plus haut, on n'a pas, pour plus de clarté, porté à la figure 2 les points $I^0_{g,h,1}$ et $I^0_{g,h,9}$, ni les points correspondants de la surface.

A l'étape 8, on détermine le déplacement des points $I^0_{g,h,1}$ et $I^0_{g,h,n}$ lors du
25 passage de la réalisation R^0 à la réalisation R^k . En d'autres termes, on considère les points de la réalisation R^k qui correspondent aux points $I^0_{g,h,1}$ et $I^0_{g,h,n}$ ou sont homologues de ces points. Si les surfaces S^k_i de la réalisation R^k sont représentées par des points $M^k_{i,r}$, comme indiqué plus haut, le point $I^k_{g,h,1}$ de la surface de toit peut simplement être obtenu en considérant le barycentre des points $M^k_{1,r1}$, $M^k_{1,r2}$ et $M^k_{1,r3}$
30 affecté des mêmes coefficients α_1 , β_1 et γ_1 . On procède de la même façon pour la surface de base, avec les coefficients correspondants. Dans cet exemple, on utilise les coordonnées barycentriques par rapport aux points les plus proches de la surface.

A l'issue de cette étape, on trouve donc des points $I^k_{g,h,1}$ et $I^k_{g,h,n}$ des surfaces de
toit S^k_1 et S^k_n de base de l'autre réalisation R^k . Ces points constituent les extrémités
35 du pilier $P^k_{g,h}$ dans la grille R^k .

A l'étape 10, on passe au pilier suivant, et on recommence le procédé pour ce pilier suivant, en bouclant vers l'étape 6. La figure ne montre pas explicitement la

sortie de la boucle, lorsque tous les piliers ont été traités; elle ne montre pas non plus la façon de parcourir l'ensemble des piliers, qui peut être quelconque.

Après avoir parcouru la boucle pour l'ensemble des piliers, on a défini les points $N_{g,h,l}^k$ et $N_{g,h,m}^k$ formant les plans G^k , et G_m^k s'appuyant sur les surfaces de toit et de base de l'autre réalisation. On a donc déterminé simplement à partir

- des surfaces S_1^0 et S_n^0 de toit et de base de la réalisation de référence,
- des plans G_1^0 et G_n^0 s'appuyant sur ces surfaces et
- des surfaces S_1^k et S_n^k de toit et de base de l'autre réalisation,

les plans G_1^k et G_m^k s'appuyant sur les surfaces de toit et de la base de l'autre réalisation R^k .

Aux étapes 12 à 58, on détermine à partir des plans de la grille s'appuyant sur les surfaces de toit et de base de l'autre réalisation R^k les plans intermédiaires de la grille R^k . La figure 3 et 4 ainsi que les figures 5 et 6 montrent différentes solutions possibles pour interpoler les plans intermédiaires. La première solution, représentée sur la partie inférieure de la figure 3, s'applique aux plans intermédiaires s'appuyant sur des surfaces de la réalisation R^k . La deuxième solution, représentée sur la figure 5, s'applique aux plans définis à l'intérieur d'une couche, en mode proportionnel, comme dans la couche entre les surfaces S_2^0 et S_3^0 sur la figure 2. Ceci correspond à une tectonique synsédimentaire; la troisième solution, représentée sur la figure 6, s'applique aux plans définis à l'intérieur d'une couche, lorsque l'on souhaite que la grille G^k reproduise une hypothèse géologique particulière présente dans la grille G^0 : il peut s'agir comme sur la couche entre les surfaces S_1^0 et S_2^0 sur la figure 2 d'une érosion (mode "On Lap" : érosion) ou encore de plans parallèles à la surface de toit, dans une hypothèse dite "Top Lap", c'est-à-dire transgression-régression.

La partie inférieure de la figure 3, étapes 12 à 22, permet de définir les plans de la grille G^k s'appuyant sur les surfaces intermédiaires de la réalisation. A l'étape 12, on considère une surface intermédiaire S_i^k de l'autre réalisation. Cette surface est homologue d'une surface S_i^0 de la réalisation de référence, sur laquelle s'appuie un plan G_j^0 de la grille de référence. On considère à l'étape 14 un pilier donné, par exemple le pilier $P_{g,h}^k$ de la grille R^k : ce pilier est défini comme la droite – ou le segment de droite si les surfaces considérées aux étapes 4 à 10 sont la base et le toit – passant par deux points homologues $N_{g,h,l}^k$ et $N_{g,h,n}^k$.

A l'étape 16, on calcule l'intersection de ce pilier avec la surface intermédiaire S_i^k . On peut procéder comme expliqué plus haut à l'étape 6. Cette intersection est considérée comme le point $N_{g,h,j}^k$ du plan G_j^k s'appuyant sur la surface intermédiaire S_i^k .

A l'étape 18, on passe au pilier suivant, et on recommence le calcul pour ce pilier suivant, en bouclant vers l'étape 16. S'il n'y a plus de pilier suivant, on passe à

l'étape 20. A l'étape 20, on considère la surface suivante et on boucle vers l'étape 14. S'il n'y a plus de surface suivante, on passe à l'étape 22.

5 Ces étapes fournissent simplement pour la surface intermédiaire S^k_i le plan correspondant G^k_i correspondant. Ce procédé préserve la propriété qu'un pilier de la description maillée G^k est une droite. Cette propriété peut être utile, notamment pour permettre d'utiliser ensuite des logiciels d'écoulement de flux dans le réservoir. Elle préserve aussi une homologie entre les plans s'appuyant sur les différentes surfaces, autrement dit une similitude entre les topologies des surfaces. Le procédé des étapes 12 à 22 préserve aussi la rectitude des piliers.

10 Il est manifeste que le procédé des étapes 12 à 22 ne fonctionne que dans la mesure où l'étape 16 est possible – c'est-à-dire dans la mesure où il est possible de calculer l'intersection de la surface S^k_i avec le pilier. Le procédé des étapes 12 à 22 est donc adapté pour fournir les plans de la grille G^k s'appuyant sur les surfaces de cette réalisation. Dans la mesure où ces plans sont obtenus par intersection des piliers avec les surfaces, ils fournissent un modèle maillé précis des surfaces.

15 Il reste donc à calculer ou définir les plans intermédiaires de la grille G^k , qui ne s'appuient pas sur des surfaces intermédiaires de la réalisation R^k . Le procédé propose à cet effet deux solutions; il est avantageux, comme expliqué ci-dessous, de mettre en œuvre des deux solutions, en fonction des couches rencontrées. On pourrait aussi ne mettre en œuvre qu'une seule de ces deux solutions pour l'ensemble de la réalisation.

20 Sur la figure 4, à l'étape 24, on considère une couche – autrement dit deux surfaces adjacentes de la réalisation R^k , pour lesquelles on dispose déjà des plans correspondants de la grille, définis aux étapes 12 à 22. On peut considérer lors de la première itération la première couche, entre les surfaces S^0_1 et S^0_2 .

25 A l'étape 26 suivante, on détermine le mode d'interpolation des plans de la couche. Dans le cas d'une interpolation géologique, on passe à l'étape 30 et dans le cas d'une interpolation homothétique, on passe à l'étape 28. La définition respective des plans de la couche aux étapes 28 et 30 est représentée sur les figures 5 et 6.

30 A l'étape 32, les plans de la couche ont été définis. S'il existe encore une couche à traiter, on passe à la couche suivante, en bouclant vers l'étape 26. Sinon, le procédé est terminé.

35 Comme indiqué plus haut, l'intérêt de l'ordinogramme de la figure 4 est de proposer des solutions alternatives pour le calcul par interpolation des plans intermédiaires. On pourrait aussi ne choisir qu'une solution appliquée à toutes les couches définies entre les surfaces de la réalisation R^k .

La figure 5 montre une solution d'interpolation des plans intermédiaires, dans une hypothèse où les plans intermédiaires de la réalisation R^k dans la couche en

cause sont homothétiques des plans intermédiaires de la couche en cause dans la réalisation de référence R^0 . La figure 5 correspond à l'étape 28 de la figure 4. La solution de la figure 5 repose sur la définition des plans G^k_i de la description maillée G^k dans les mêmes proportions que dans la description maillée de référence G^0 .

- 5 Autrement dit, on importe dans la description maillée G^k les positions relatives des plans G^0_i de la couche en cause dans la description maillée de référence G^0 . La solution des étapes 36 à 42 est décrite pour une couche, entre deux plans G^k_p et G^k_q s'appuyant sur deux surfaces S^k_i et S^k_{i+1} de la réalisation R^k . Dans l'exemple de la figure 2, on considère la couche s'étendant entre les surfaces S^k_2 et S^k_3 , sur lesquelles
10 s'appuient les plans G^k_6 et G^k_9 .

On considère à l'étape 36 un pilier donné, par exemple le pilier $P^k_{g,h}$ de la grille R^k : ce pilier est défini dans la couche considérée comme le segment de droite s'étendant entre les points $N^k_{g,h,p}$ et $N^k_{g,h,q}$ des plans G^k_p et G^k_q . A la première itération de la boucle de la figure 4, on peut simplement considérer le pilier $P^k_{1,1}$.

- 15 A l'étape 38, on calcule, pour le pilier correspondant $P^0_{g,h}$ dans la description maillée de référence G^0 , la position des points $N^0_{g,h,t}$, $p < t < q$, des plans de la grille de référence s'étendant à l'intérieur de la couche en cause dans la grille de référence. La position des différents points est donnée par exemple par le rapport des longueurs aux extrémités du segment, ou, ce qui est équivalent, par les coefficients du
20 barycentre par rapport à ces extrémités. On pourrait aussi utiliser des coordonnées dans un repère orthonormé dont le vecteur unitaire relie les extrémités du pilier.

- A l'étape 40, on définit les points $N^k_{g,h,t}$ sur le pilier $P^k_{g,h}$, de sorte à respecter sur ce pilier les mêmes proportions que sur le pilier $P^0_{g,h}$. Ceci s'effectue par un calcul des rapports de longueurs sur le segment $[N^k_{g,h,p}, N^k_{g,h,q}]$, ou encore par un
25 calcul du barycentre des extrémités du segment ou enfin par le calcul d'un vecteur. Cette étape permet de définir les points des différents plans de la couche sur le pilier. Dans l'exemple de la figure 2, on définit de la sorte les points $N^k_{g,h,7}$ et $N^k_{g,h,8}$, ces points divisant le segment $[N^k_{g,h,6}, N^k_{g,h,9}]$ dans les mêmes proportions que les points $N^0_{g,h,7}$ et $N^0_{g,h,8}$ divisent le segment $[N^0_{g,h,6}, N^0_{g,h,9}]$ dans la grille de référence.

- 30 On passe ensuite au pilier suivant, à l'étape 42, en bouclant vers l'étape 38. S'il n'existe pas de pilier suivant, on retourne à l'étape 32 de la figure 3.

- On arrive donc à définir les plans de la description maillée G^k dans une couche entre les plans s'appuyant sur deux surfaces successives. Dans cette couche, les positions relatives des plans sont les mêmes que celles des plans correspondants dans
35 la grille de référence. Ainsi, dans l'exemple de la figure 2, les plans G^0_7 et G^0_8 divisent chaque pilier en trois parties sensiblement égales dans la couche s'étendant dans la grille de référence entre les surfaces S^0_2 et S^0_3 ; il en est de même des plans

G^k_7 et G^k_8 dans la couche s'étendant dans la grille G^k entre les surfaces S^k_2 et S^k_3 ou les plans G^k_6 et G^k_9 . Ceci est représenté à la figure 7.

Comme dans le cas de la figure 3, l'interpolation proposée à la figure 6 préserve l'homologie des topologies des plans intermédiaires; elle préserve aussi le caractère rectiligne des piliers.

La figure 6 montre une solution d'interpolation des plans intermédiaires, dans une hypothèse où les plans intermédiaires de la réalisation R^k dans la couche en cause reproduisent la même hypothèse géologique que les plans intermédiaires de la couche en cause dans la réalisation de référence R^0 . Cette figure correspond à l'étape 30 de la figure 4. On considère dans l'exemple de la figure 6 deux hypothèses géologiques, à savoir

- des plans intermédiaires parallèles au plan inférieur de la couche en cause; ou
- des plans intermédiaires parallèles au plan supérieur de la couche en cause.

La première hypothèse correspond à une sédimentation sur la surface sur laquelle s'appuie le plan inférieur et le cas échéant à une érosion en surface. La deuxième hypothèse correspond à une sédimentation avec une régression ou transgression marine. Sur la figure 2, la couche entre les surfaces S^0_1 et S^0_2 présente des plans parallèles G^0_2 à G^0_5 parallèles au plan inférieur G^0_6 s'appuyant sur la surface S^0_2 ; la répartition des plans dans la couche correspond à la première hypothèse géologique proposée plus haut.

La solution de la figure 6 repose donc sur la définition des plans G^k_i de la description maillée G^k de l'autre réalisation R^k , de sorte à respecter aussi dans la couche en cause les mêmes hypothèses géologiques que dans la description maillée de référence G^0 . Autrement dit, pour les hypothèses géologiques de parallélisme considérées, on importe dans la description maillée G^k les contraintes de parallélisme des plans G^0_i de la couche en cause dans la description maillée de référence G^0 .

La solution des étapes 36 à 42 est décrite pour une couche, entre deux plans G^k_p et G^k_q s'appuyant sur deux surfaces S^k_i et S^k_{i+1} de la réalisation R^k . Dans l'exemple de la figure 2, on considère la couche s'étendant entre les surfaces S^k_1 et S^k_2 , sur lesquelles s'appuient les plans G^k_1 et G^k_6 .

On considère à l'étape 50 une hypothèse géologique; dans l'exemple considéré ceci revient à choisir celui des plans supérieur et inférieur de la couche auquel les plans intermédiaires sont parallèles.

A l'étape suivante 52, on détermine le pilier le plus long de la couche. Ceci revient à maximiser sur l'ensemble des piliers la longueur du segment $[N^k_{g,h,p}, N^k_{g,h,q}]$. On trouve le pilier $P^k_{g,h}$ le plus long.

On interpole ensuite les plans intermédiaires sur le pilier le plus long. On peut simplement répartir sur le pilier le plus long de façon régulière les points $N^k_{g,h,t}$, $p < t$

< q, des plans intermédiaires; alternativement, comme représenté à l'étape 54, on peut rechercher la position des points $N_{g,h,t}^0$, $p < t < q$ sur le pilier de la grille de référence $P_{g,h}^0$ correspondant au pilier le plus long. A l'étape 56, on définit les points $N_{g,h,t}^k$ sur le pilier $P_{g,h}^k$, de sorte à respecter sur ce pilier les mêmes proportions que sur le pilier $P_{g,h}^0$. Ceci peut s'effectuer comme expliqué en référence à l'étape 40 de la figure 5.

A l'étape 58, on calcule les points $N_{g',h',t}^k$ sur les autres piliers $P_{g',h'}^k$ avec (g', h') différent de (g, h) , de sorte à respecter l'hypothèse de parallélisme. Il suffit, dans l'exemple d'un parallélisme avec le plan s'appuyant sur la surface inférieure de la couche, que les distances entre un point d'un plan intermédiaire et le point du même pilier du plan inférieur soient égales pour tous les piliers, soit

$$d(N_{g',h',t}^k, N_{g',h',q}^k) = d(N_{g,h,t}^k, N_{g,h,q}^k)$$

pour tout triplet (t, g', h') vérifiant $p < t < q$ et (g', h') différent de (g, h) . Il reste possible à cette étape qu'un plan soit confondu partiellement avec le plan de base ou de toit – par exemple si la longueur d'un pilier devient trop faible par rapport à la longueur du pilier le plus long. Le procédé de la figure 6 permet donc aussi de représenter des plans terminant en biseau.

Après l'étape 58, on retourne à l'étape 32 de la figure 3.

On arrive donc à définir les plans de la description maillée G^k dans une couche entre les plans s'appuyant sur deux surfaces successives. Dans cette couche, le parallélisme des plans est identique au parallélisme des plans correspondants dans la grille de référence. Ainsi, dans l'exemple de la figure 2, les plans G_2^0 à G_5^0 sont parallèles au plan G_6^0 qui s'appuie sur la surface S_2^0 . De même, les plans G_2^k à G_5^k sont parallèles au plan G_6^k dans la grille G^k .

La figure 7 montre une représentation analogue à celle de la figure 2, sur laquelle on a représenté

- en traits pointillés, les trois surfaces S_1^0 , S_2^0 et S_3^0 de la réalisation de référence R^0 , ainsi que le pilier $P_{g,h}^0$;
- les trois surfaces S_1^k , S_2^k et S_3^k de la réalisation R^k ainsi que la grille G^k obtenue par le procédé décrit en référence aux figures 3 à 6, avec le pilier $P_{g,h}^k$.

On constate sur la figure que les plans intermédiaires dans la couche supérieure sont comme sur la figure 2 parallèles à la surface inférieure de la couche, tandis que les plans intermédiaires dans la couche inférieure sont régulièrement répartis dans cette couche. Encore une fois, la figure 2 comme la figure 7 correspondent à des exemples simples, dans lesquels les surfaces sont sensiblement planes et sensiblement parallèles: le procédé s'applique aussi pour des surfaces gauches ou des formes complexes.

Le procédé décrit aux figures 3 à 6 permet ainsi de calculer une description maillée G^k d'une réalisation R^k , à partir

- d'une réalisation de référence R^0 ;
- d'une description maillée de référence G^0 de cette réalisation de référence; et
- 5 - d'au moins deux surfaces stratigraphiques S^k_1, S^k_n de la réalisation R^k .

Le procédé n'implique pas de calculer à nouveau toute la description maillée pour la nouvelle réalisation, mais suppose simplement la connaissance des points homologues des surfaces à l'intérieur d'une réalisation. Il suppose aussi un calcul de déplacement, c'est-à-dire une homologie de la représentation entre les diverses
10 réalisations. Ceci est simplement assuré dans les exemples proposés plus haut, si les réalisations correspondent à des tirages d'incertitudes, ou encore si les réalisations présentent une même topologie.

Le calcul d'une nouvelle description maillée G^k suivant le procédé de l'invention peut s'effectuer en quelques minutes de temps de calcul.

15 Le procédé décrit en référence aux figures 3 à 6 s'applique à toutes les surfaces et permet de fournir une description maillée. On décrit maintenant en référence aux figures 8 et 9 un mode de réalisation dans lequel on applique un traitement distinct à des points des surfaces définissant des failles. Le mode de réalisation de la figure 9 n'est pas obligatoire, mais permet d'obtenir une description maillée plus continue ou
20 moins perturbée par les failles.

Le mode de réalisation des figures 8 et 9 repose sur l'existence, dans certaines descriptions maillées de surfaces, de points particuliers. Ces points sont représentatifs de failles ou de discontinuités dans la surface décrite. Pour rendre compte de ces discontinuités, la description maillée peut utiliser des points
25 particuliers, qualifiés de "split nodes" ou nœuds de coupure. Un tel point de la modélisation peut présenter plusieurs positions géométriques correspondant à deux ou plusieurs panneaux de faille. La figure 8 montre une représentation schématique d'un nœud de faille dans une telle description maillée, dans un exemple où les points irréguliers présentent deux positions. On a représenté sur la figure une surface et trois
30 plans de part et d'autre de la surface. La surface sous-jacente présente une faille séparant deux parties 62 et 64 de la surface; dans l'exemple, la faille est sensiblement verticale. Les points des plans autour de la partie 62 ou de la partie 64 sont dits réguliers; ils sont représentés dans l'exemple de la figure 8 par des points de forme circulaire sur les plans. Un point de la description maillée au niveau de la faille est
35 appelé nœud ou point de coupure ou encore point irrégulier; il présente deux positions géométriques représentées par des croix sur la figure 8; l'une de ces positions est utilisée pour définir le bord d'une partie de la surface, tandis que l'autre position est utilisée pour définir l'autre partie de la surface. On a référencé sur la

figure la première position 66 d'un point irrégulier, qui est utilisée pour définir le bord d'un plan sur un côté de la faille. L'autre position 68 du point irrégulier est utilisée pour définir le bord du plan sur l'autre côté de la faille. Les deux positions du point irrégulier sont sur la même surface réglée 70 définissant le panneau de faille

5 Le procédé de la figure 9 propose de prendre en compte de façon particulière les points irréguliers de la surface. Pour chacune des positions géométriques des points irréguliers, le déplacement est obtenu à partir du déplacement des points réguliers voisins. Cette solution permet, dans le modèle maillé obtenu, de mieux rendre compte des failles ou des irrégularités. En particulier, cette solution assure que
10 le panneau de faille reste représenté par une surface réglée.

Le procédé de la figure 9 commence par un calcul des points réguliers de la description maillée G^k de la réalisation R^k , suivant le procédé décrit en référence aux figures 3 à 6. L'étape 72 représentée sur la figure 9 est donc un calcul des points réguliers des descriptions maillées des plans G_0^k et G_m^k s'appuyant sur les surfaces de
15 base et de toit S_0^k et S_n^k , puis un calcul par interpolation des points réguliers des autres plans G_i^k .

A l'étape 74, on considère un point irrégulier. Ce point est caractérisé par au moins deux positions, comme expliqué en référence à la figure 8. Soit donc $N_{g,h,1}^0$ un point irrégulier, qui dans l'exemple fait partie du plan G_1^0 s'appuyant sur la surface de
20 toit et $T_{g,h,1}^0$ et $U_{g,h,1}^0$ les deux positions de ce point.

A l'étape 76, on détermine, pour une position de ce point – par exemple pour la position $T_{g,h,1}^0$ lors de la première itération – les points réguliers voisins dans le plan G_1^0 . On peut considérer les points réguliers les plus proches, ou considérer en outre d'autres points réguliers. On pourrait aussi considérer les positions voisines des
25 points irréguliers, pour lesquels le déplacement a été calculé lors des itérations précédentes. Le nombre de points considéré à cette étape n'est pas essentiel – et on pourrait à la limite ne considérer qu'un point voisin.

A l'étape 78, on calcule le déplacement de la position du point irrégulier – autrement dit la position $T_{g,h,1}^k$ dans le plan G_1^k à partir des déplacements des points
30 réguliers voisins. On peut simplement effectuer une moyenne de ces déplacements, dans le cas le plus simple; on peut aussi pondérer les déplacements, par exemple en fonction des distances entre la position et les points réguliers voisins, ou suivant toute autre méthode. Dans le cas le plus simple, on procède à un simple calcul de la moyenne des déplacement et on trouve :

$$35 \quad \frac{T_{g,h,1}^0 T_{g,h,1}^k}{T_{g,h,1}^0 T_{g,h,1}^k} = \frac{\sum_{p1,p2} N_{p1,p2,1}^0 N_{p1,p2,1}^k}{\sum_{p1,p2} i}$$

avec $N_{p1,p2,1}^0$ les points réguliers voisins du point $N_{g,h,1}^0$, le terme au dénominateur représentant simplement le nombre de points réguliers considérés.

A l'issue de l'étape 78, on obtient donc la position d'un point irrégulier dans la description maillée G^k_0 .

- 5 A l'étape 80, on passe à la position suivante du point irrégulier et on boucle vers l'étape 76. Si on a traité toutes les positions du point irrégulier en cause, on passe à l'étape 82.

A l'étape 82, on passe au point irrégulier suivant et on boucle vers l'étape 74. Si on a traité tous les points irréguliers, le procédé se termine.

- 10 Les étapes 72 à 82 permettent ainsi de générer les points irréguliers dans la description maillée G^k de la réalisation R^k . Le traitement des positions des points irréguliers à partir des points réguliers voisins permet de préserver dans la description maillée G^k les failles ou les autres irrégularités existant dans la description maillée de référence.

- 15 Le procédé des figures 3 à 6, comme celui de la figure 9, permet de garder pour les plans G^0_k de la description maillée G^k de toutes les réalisations R^k une topologie similaire à la topologie de la description maillée S^0 de la réalisation de référence R^0 . On rend ainsi compte du fait que la description maillée est calculée pour une réalisation R^k similaire à la réalisation de référence : le procédé prend en compte et
- 20 exploite l'homologie qui existe entre les réalisations. Dans la mesure où la propriété de rectitude des piliers est assurée pour les points réguliers, elle est aussi préservée pour les points irréguliers dans le procédé de la figure 9 – dans la mesure où l'on considère, pour un pilier formé de points irréguliers, les mêmes choix des points voisins dans chaque plan.

- 25 En particulier, le procédé de la figure 9 assure une bonne représentation des failles ou des irrégularités; les failles représentées par une surface réglée dans la description maillée de référence G^0 sont aussi représentées par une surface réglée dans la description maillée G^k obtenue par le procédé.

- 30 Les procédés des figures 3 à 6 et 9 peuvent être mis en œuvre par des programmes appropriés, avec des routines correspondant aux différentes étapes des procédés. La programmation de telles routines est à la portée de l'homme du métier, compte tenu des indications fournies plus haut en référence aux figures.

- Afin de rendre la programmation de l'invention relativement aisée, il est préférable d'utiliser un langage de haut niveau, qui permette une programmation de
- 35 type objet tel que le C++ ou le langage JAVA. Ce type de traitement est de préférence intégré à un modèleur ayant une description à la fois surfacique et maillée afin de connaître les relations topologiques entre les éléments tels que points, piliers, couches et surfaces. En outre les logiciels de type modèleur décrivent déjà les

fonctionnalités de base telles que les calculs d'intersection. Le logiciel vendu par la société TSURF sous la marque GOCAD est un bon exemple de ce type d'environnement de programmation.

Bien entendu, la présente invention n'est pas limitée aux modes de réalisations décrits à titre d'exemple. Dans les exemples proposés, on utilise pour l'interpolation des piliers les surfaces de toit et de base de la réalisation. On pourrait aussi utiliser deux autres surfaces de cette réalisation. L'utilisation des surfaces de toit et de base présente l'avantage d'une distance maximale entre les surfaces, ce qui assure une précision optimale dans l'interpolation du pilier, pour une incertitude donnée dans le plan de la surface. Si l'on utilise ces surfaces de toit et de base, on peut en toute rigueur parler de surfaces intermédiaires, comme plus haut. Même si l'on n'utilise pas les surfaces de toit et de base, le procédé s'applique aussi aux surfaces situées au-dessus et au-dessous des surfaces utilisées – bien qu'il ne s'agisse pas à proprement parler de surfaces "intermédiaires".

Par ailleurs, dans l'ordinogramme de la figure 3, le procédé est expliqué avec un calcul pilier par pilier; on peut changer l'ordre des calculs proposés, par exemple en commençant par la recherche sur la surface de toit des points de passage des piliers, puis la recherche des points sur la surface de base et enfin l'interpolation des piliers.

L'étape 6 de l'ordinogramme de la figure 3 suppose aussi que le pilier est une droite; dans la mesure où le pilier n'est pas une droite, on peut considérer la projection des points $N_{g,h,1}^0$ et $N_{g,h,n}^0$ sur les surfaces S_1^0 et S_n^0 , de la même manière que pour les calculs relatifs au toit et à la base tels que décrit à l'étape 8 et non pas l'intersection proposée à l'étape 6 de la figure 3. Cette considération s'applique naturellement pour les surfaces de faille qui ne sont pas nécessairement des surfaces réglées. En tout état de cause, on obtient les points $I_{g,h,1}^0$ et $I_{g,h,n}^0$ de la droite passant par ces deux points avec les surfaces S_1^0 et S_n^0 .

Comme pour l'ordinogramme de la figure 3, on peut changer l'ordre des étapes de l'ordinogramme des autres figures, notamment pour ce qui est du balayage des surfaces et des points irréguliers.

Il n'est pas indispensable de mettre en œuvre la solution de la figure 9 en l'absence de points irréguliers.

On rappelle encore que la modélisation utilisée pour les surfaces dans les différentes réalisations est sans incidence. Dans l'exemple, on a considéré des surfaces modélisées par des points; on a aussi considéré une collection de points pour chaque réalisation. On pourrait tout aussi bien modéliser les différentes réalisations en fournissant un ensemble de points pour la réalisation de référence R^0 et n

ensembles de vecteurs d'incertitudes correspondants aux n autres réalisations. On obtient de la même façon une modélisation des surfaces des autres réalisations.

Le choix d'un mode d'interpolation dans une couche peut être une donnée de départ; il peut aussi être déduit de l'analyse de la position des plans dans la grille de
5 référence.

REVENDEICATIONS

1. Un procédé de calcul d'une description maillée (G^k) d'une réalisation (R^k) d'un réservoir, la réalisation comprenant une pluralité des surfaces stratigraphiques (S^k_1 , S^k_2, \dots, S^k_n), le procédé comprenant :
 - 5 - la fourniture(2)
 - d'une réalisation de référence (R^0) du réservoir, la réalisation de référence comprenant une pluralité de surfaces stratigraphiques ($S^0_1, S^0_2, \dots, S^0_n$);
 - d'une description maillée de référence (G^0) pour la réalisation de référence; la
 - 10 description de référence comprenant une pluralité de plans ($G^0_1, G^0_2, \dots, G^0_m$) dont certains décrivent les surfaces stratigraphiques ($S^0_1, S^0_2, \dots, S^0_n$), chaque plan (G^0_i) comportant une pluralité de points ($N^0_{g,h,i}$); et
 - d'au moins deux surfaces stratigraphiques (S^k_1, S^k_n) de la réalisation (R^k) correspondant à deux surfaces stratigraphiques (S^0_1, S^0_n) de la réalisation de
 - 15 référence;
 - pour deux points homologues ($N^0_{g,h,1}, N^0_{g,h,m}$) des deux plans (G^0_1, G^0_m) décrivant les deux surfaces stratigraphiques (S^0_1, S^0_n) de la réalisation de référence
 - le calcul (6) des points ($I^0_{g,h,1}, I^0_{g,h,n}$) sous-jacents des deux surfaces stratigraphiques (S^0_1, S^0_n) de la réalisation de référence;
 - 20 le calcul (8) des déplacements des points sous-jacents dans le passage des deux surfaces stratigraphiques (S^0_1, S^0_n) de la réalisation de référence aux deux surfaces stratigraphiques correspondantes (S^k_1, S^k_n) de la réalisation (R^k);
 - les deux points sous-jacents déplacés constituant deux points homologues des plans (G^k_1, G^k_m) de la description maillée (G^k) décrivant les deux surfaces stratigraphiques
 - 25 (S^k_1, S^k_n) de la réalisation (R^k);
 - la fourniture de plans (G^k_i) de la description maillée (G^k) par interpolation entre les points homologues de ces deux plans (G^k_1, G^k_m).
2. Le procédé de la revendication 1, caractérisé en ce que les deux surfaces stratigraphiques (S^0_1, S^0_n) de la réalisation (R^k) comprennent la surface de toit et/ou
- 30 la surface de base de la réalisation.
3. Le procédé de la revendication 1 ou 2, caractérisé en ce que l'interpolation comprend, pour une autre surface stratigraphique (S^k_i) de la réalisation (R^k) et pour deux points homologues des plans (G^k_1, G^k_m) de la description maillée (G^k), le calcul
- (16) de l'intersection entre l'autre surface stratigraphique et une droite passant par les
- 35 deux points homologues, l'intersection constituant un point du plan (G^k_j) de la description maillée (G^k) décrivant l'autre surface stratigraphique (S^k_i).

4. Le procédé de la revendication 1, 2 ou 3, caractérisé en ce que l'interpolation comprend, pour deux points homologues de deux plans (G_p^k , G_q^k) de la description maillée (G^k) décrivant des surfaces stratigraphiques (S_i^k , S_{i+1}^k) adjacentes, la fourniture (40) d'un point d'un autre plan sur la droite reliant ces deux points homologues, dans les mêmes proportions de longueur que dans la description maillée de référence.
5. Le procédé de la revendication 1, 2 ou 3, caractérisé en ce que des plans de la description maillée de référence s'étendant entre deux plans (G_p^0 , G_q^0) décrivant des surfaces stratigraphiques adjacentes (S_i^k , S_{i+1}^k) sont parallèles, et en ce que l'interpolation comprend, pour deux points homologues de ces deux plans (G_p^k , G_q^k), la fourniture (54, 56) d'un point d'un autre plan sur la droite reliant ces deux points homologues de sorte que les plans de la description maillée correspondant aux plans parallèles de la description maillée de référence soient parallèles.
6. Le procédé de l'une des revendications 1 à 5, caractérisé en ce que la description maillée de référence (G^0) comprend au moins un point irrégulier ($N_{g,h,1}^0$) avec au moins deux positions ($T_{g,h,1}^0$, $U_{g,h,1}^0$) et en ce que le calcul d'un point irrégulier correspondant de la description maillée (G^k) comprend :
- la recherche de points réguliers de la description maillée de référence voisins d'une position du point irrégulier ;
 - le calcul d'une position du point irrégulier correspondant dans la description maillée à partir des déplacements des points réguliers voisins entre la description maillée de référence (G^0) et la description maillée (G^k).
7. Un programme de calcul d'une description maillée (G^k) d'une réalisation (R^k) d'un réservoir, la réalisation comprenant une pluralité de surfaces stratigraphiques (S_1^k , S_2^k , ..., S_n^k), le programme comprenant :
- une routine d'introduction
 - d'une réalisation de référence (R^0) du réservoir, la réalisation de référence comprenant une pluralité de surfaces stratigraphiques (S_1^0 , S_2^0 , ..., S_n^0);
 - d'une description maillée de référence (G^0) pour la réalisation de référence; la description de référence comprenant une pluralité de plans (G_1^0 , G_2^0 , ..., G_m^0) dont certains décrivent les surfaces stratigraphiques (S_1^0 , S_2^0 , ..., S_n^0), chaque plan (G_i^0) comportant une pluralité de points ($N_{g,h,i}^0$); et
 - d'au moins deux surfaces stratigraphiques (S_1^k , S_n^k) de la réalisation (R^k) correspondant à deux surfaces stratigraphiques (S_1^0 , S_n^0) de la réalisation de référence;

- une routine de calcul, pour deux points homologues ($N_{g,h,1}^0, N_{g,h,m}^0$) des deux plans (G_1^0, G_m^0) décrivant les deux surfaces stratigraphiques (S_1^0, S_n^0) de la réalisation de référence

- des points ($I_{g,h,1}^0, I_{g,h,n}^0$) sous-jacents des deux surfaces stratigraphiques (S_1^0, S_n^0) de la réalisation de référence;
- des déplacements des points sous-jacents dans le passage des deux surfaces stratigraphiques (S_1^0, S_n^0) de la réalisation de référence aux deux surfaces stratigraphiques correspondantes (S_1^k, S_n^k) de la réalisation (R^k);
- les deux points sous-jacents déplacés constituant deux points homologues des plans (G_1^k, G_m^k) de la description maillée (G^k) décrivant les deux surfaces stratigraphiques (S_1^k, S_n^k) de la réalisation (R^k);
- une routine de calcul de plans (G_i^k) de la description maillée (G^k) par interpolation entre les points homologues de ces deux plans (G_1^k, G_m^k).

8. Le programme de la revendication 7, caractérisé en ce que les deux surfaces stratigraphiques de la réalisation (R^k) comprennent la surface de toit et/ou la surface de base de la réalisation.

9. Le programme de la revendication 7 ou 8, caractérisé en ce que la routine de calcul par interpolation est adaptée à effectuer, pour une autre surface stratigraphique (S_i^k) de la réalisation (R^k) et pour deux points homologues des plans (G_1^k, G_m^k) de la description maillée (G^k), le calcul de l'intersection entre l'autre surface stratigraphique et une droite passant par les deux points homologues, l'intersection constituant un point du plan (G_j^k) de la description maillée (G^k) décrivant l'autre surface stratigraphique (S_i^k).

10. Le programme de la revendication 7, 8 ou 9, caractérisé en ce que la routine de calcul par interpolation est adaptée à calculer, pour deux points homologues de deux plans (G_p^k, G_q^k) de la description maillée (G^k) décrivant des surfaces stratigraphiques (S_i^k, S_{i+1}^k) adjacentes, un point d'un autre plan sur la droite reliant ces deux points homologues, dans les mêmes proportions de longueur que dans la description maillée de référence.

11. Le programme de la revendication 7, 8 ou 9, caractérisé en ce que des plans de la description maillée de référence s'étendant entre deux plans (G_p^0, G_q^0) décrivant des surfaces stratigraphiques adjacentes (S_i^0, S_{i+1}^0) sont parallèles, et en ce que la routine de calcul par interpolation est adaptée à calculer, pour deux points homologues de ces deux plans (G_p^k, G_q^k), un point d'un autre plan sur la droite reliant

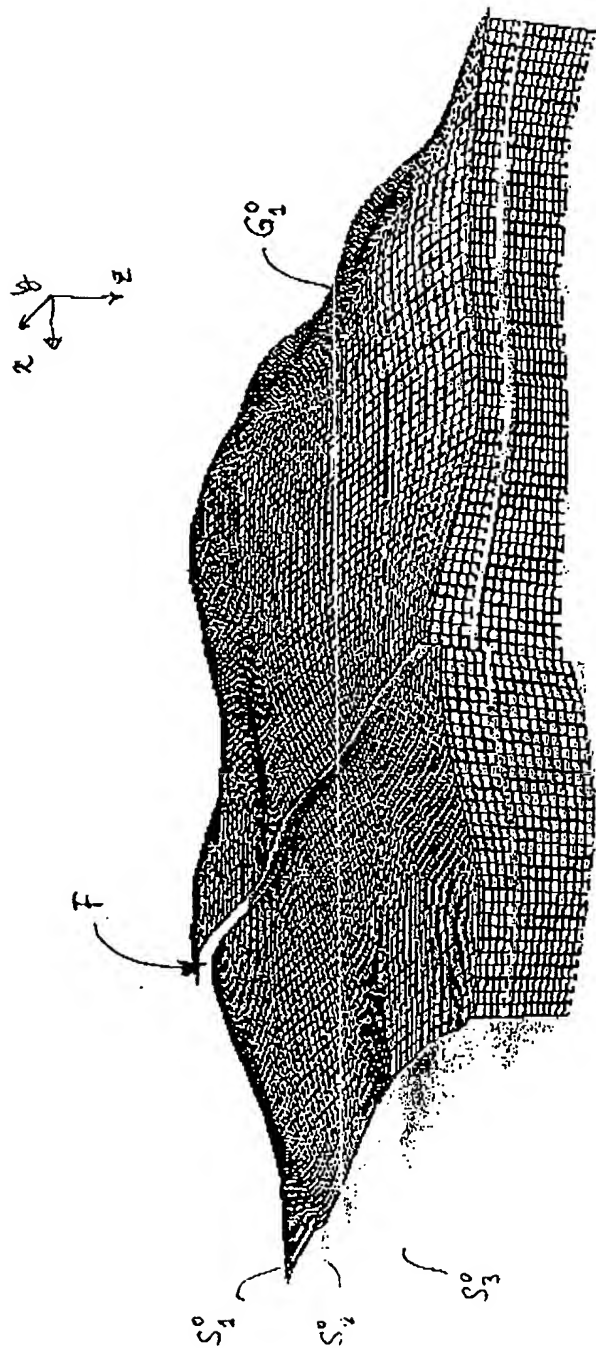
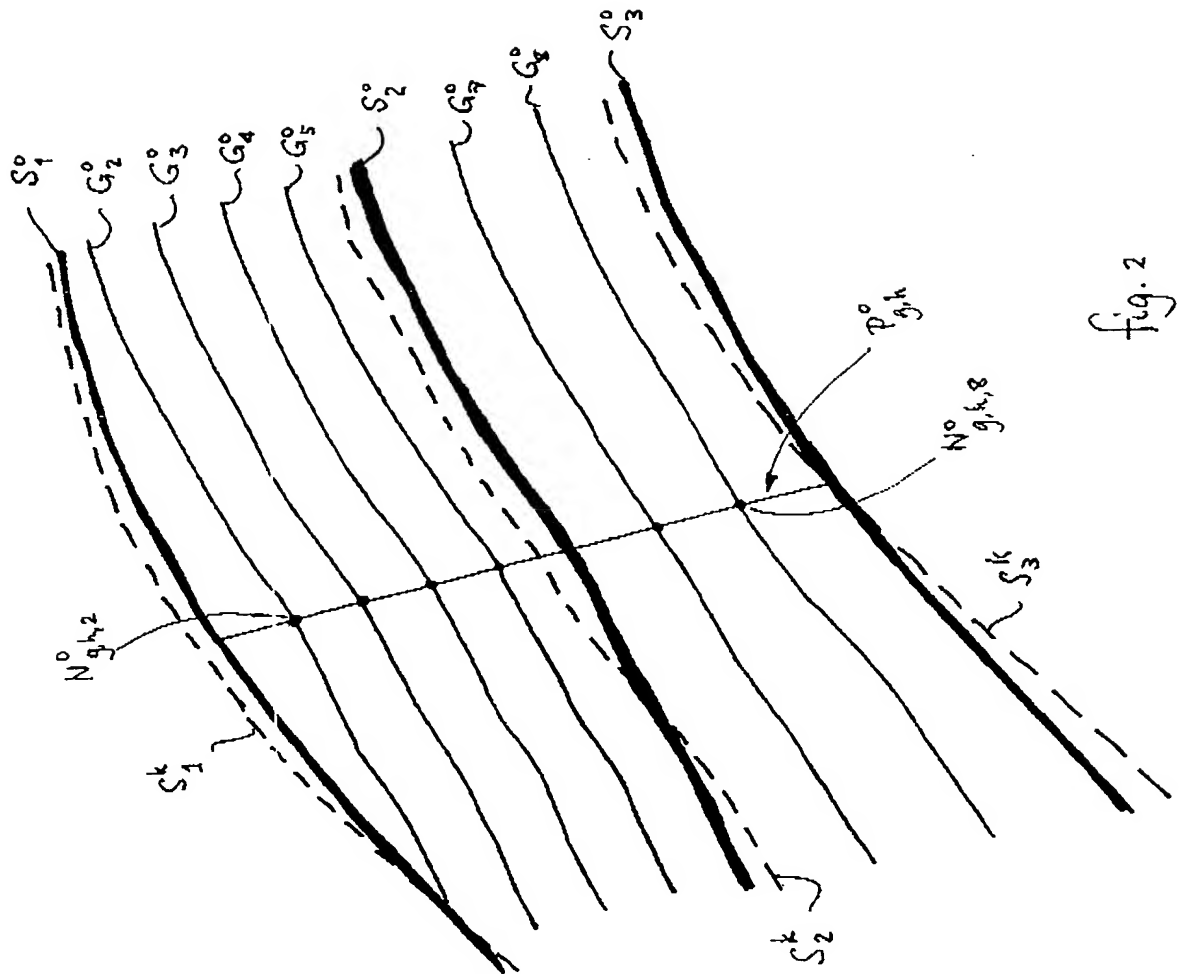


Fig. 1



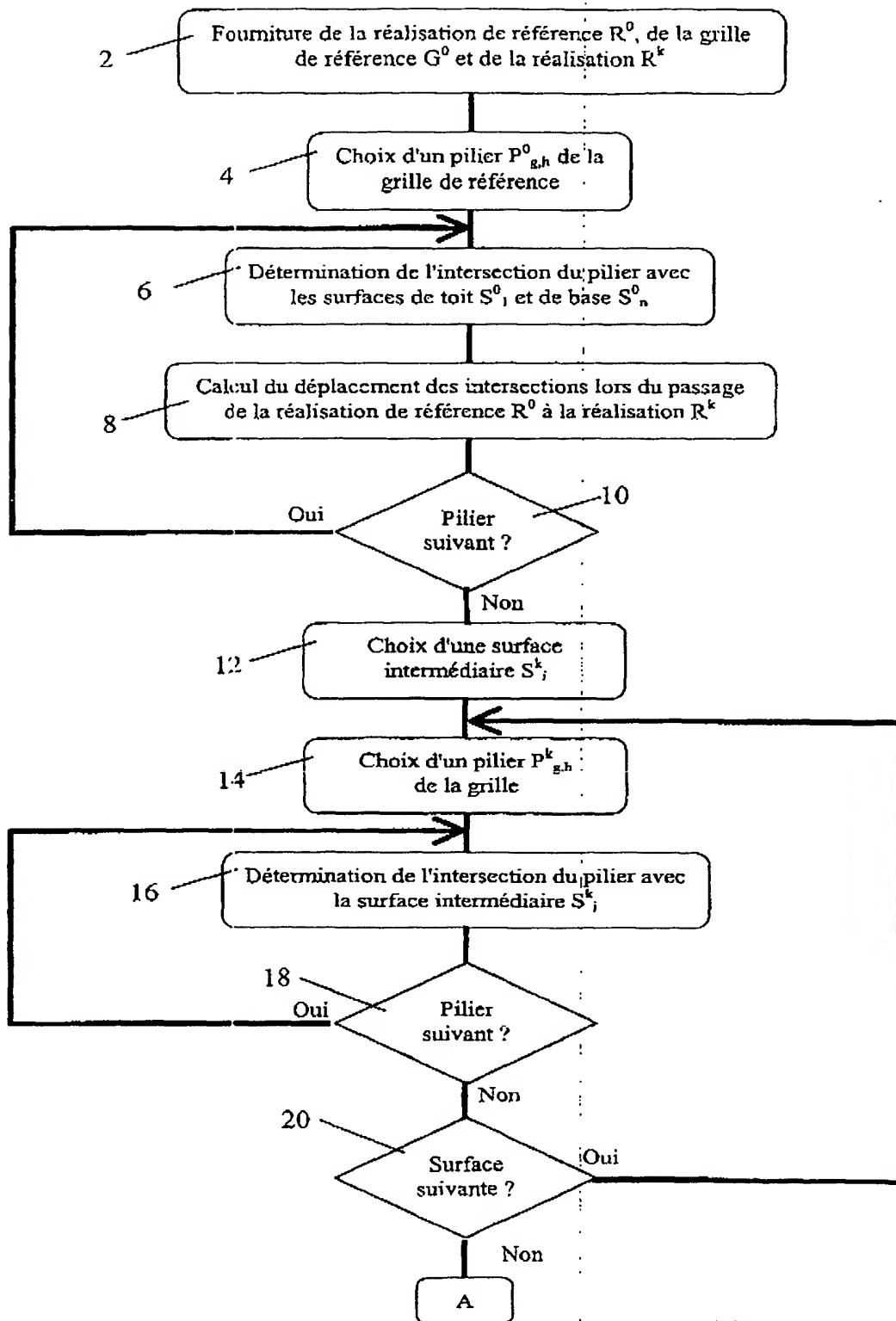


Fig. 3

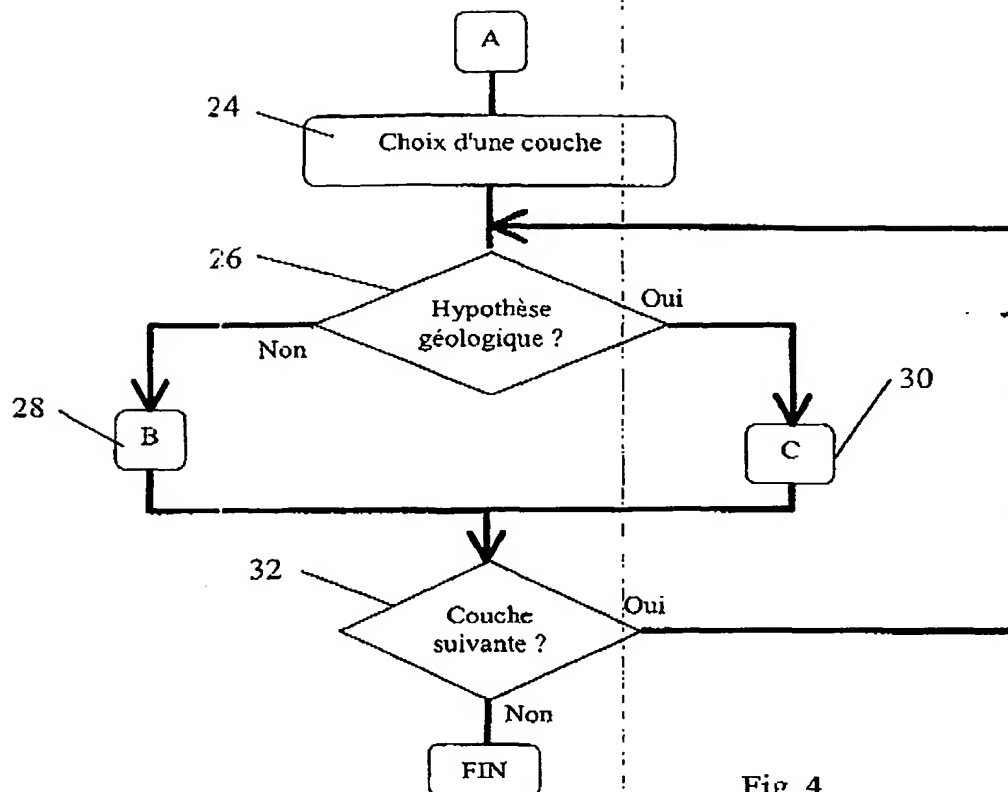


Fig. 4

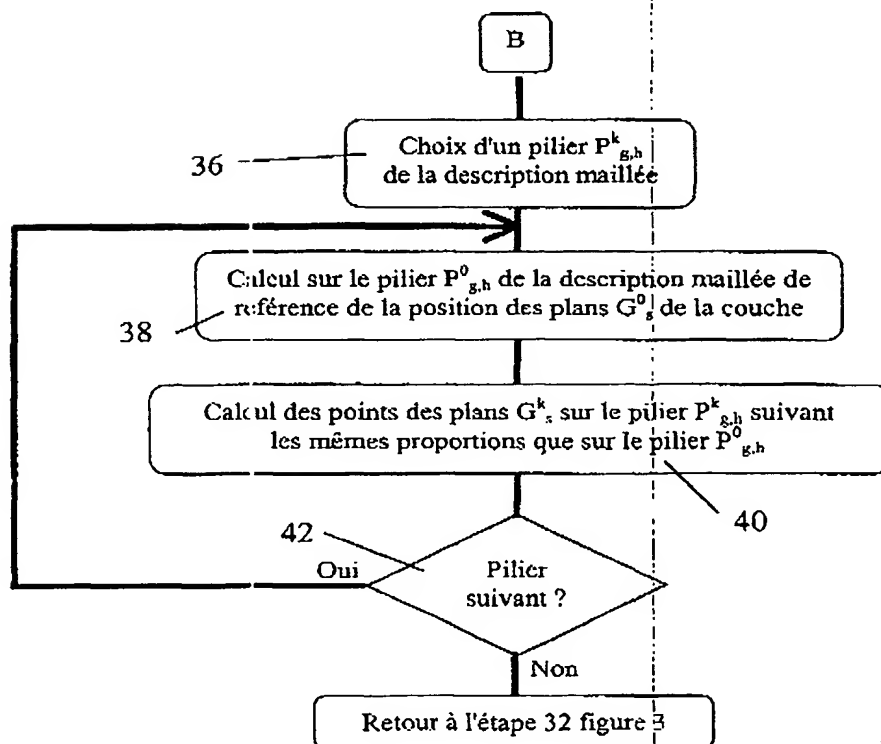


Fig. 5

5/8

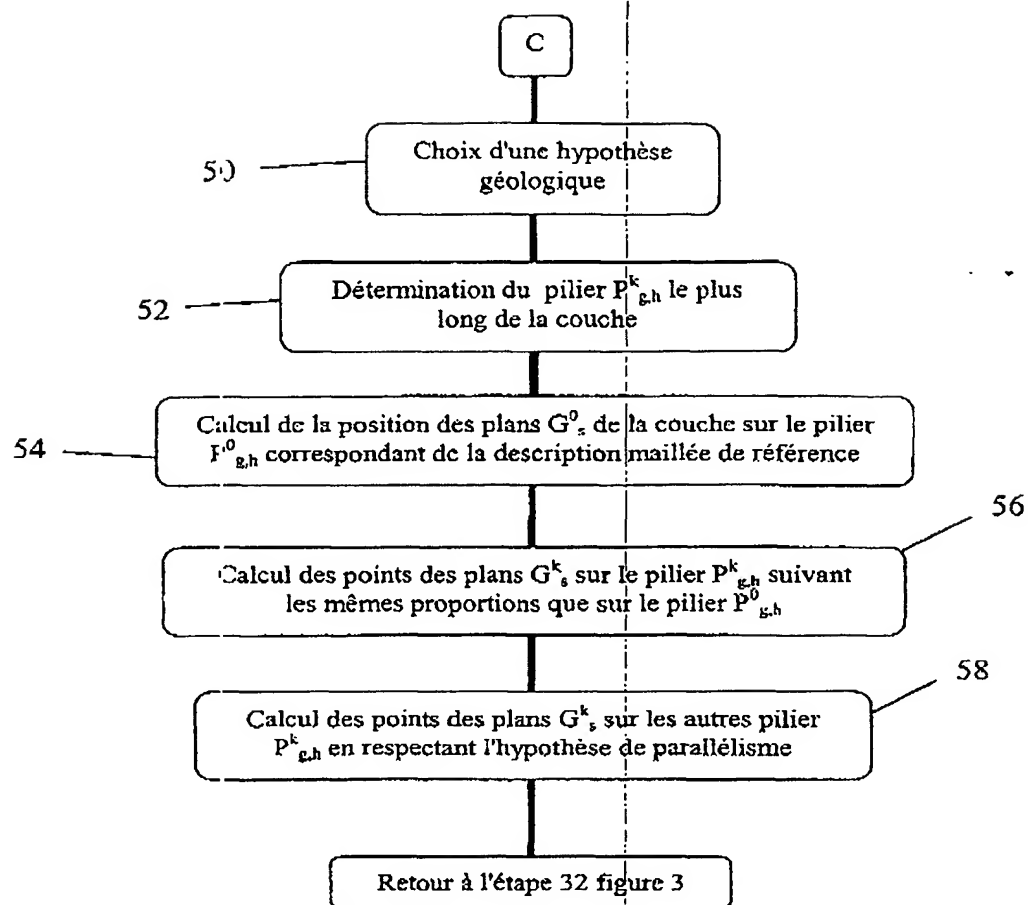
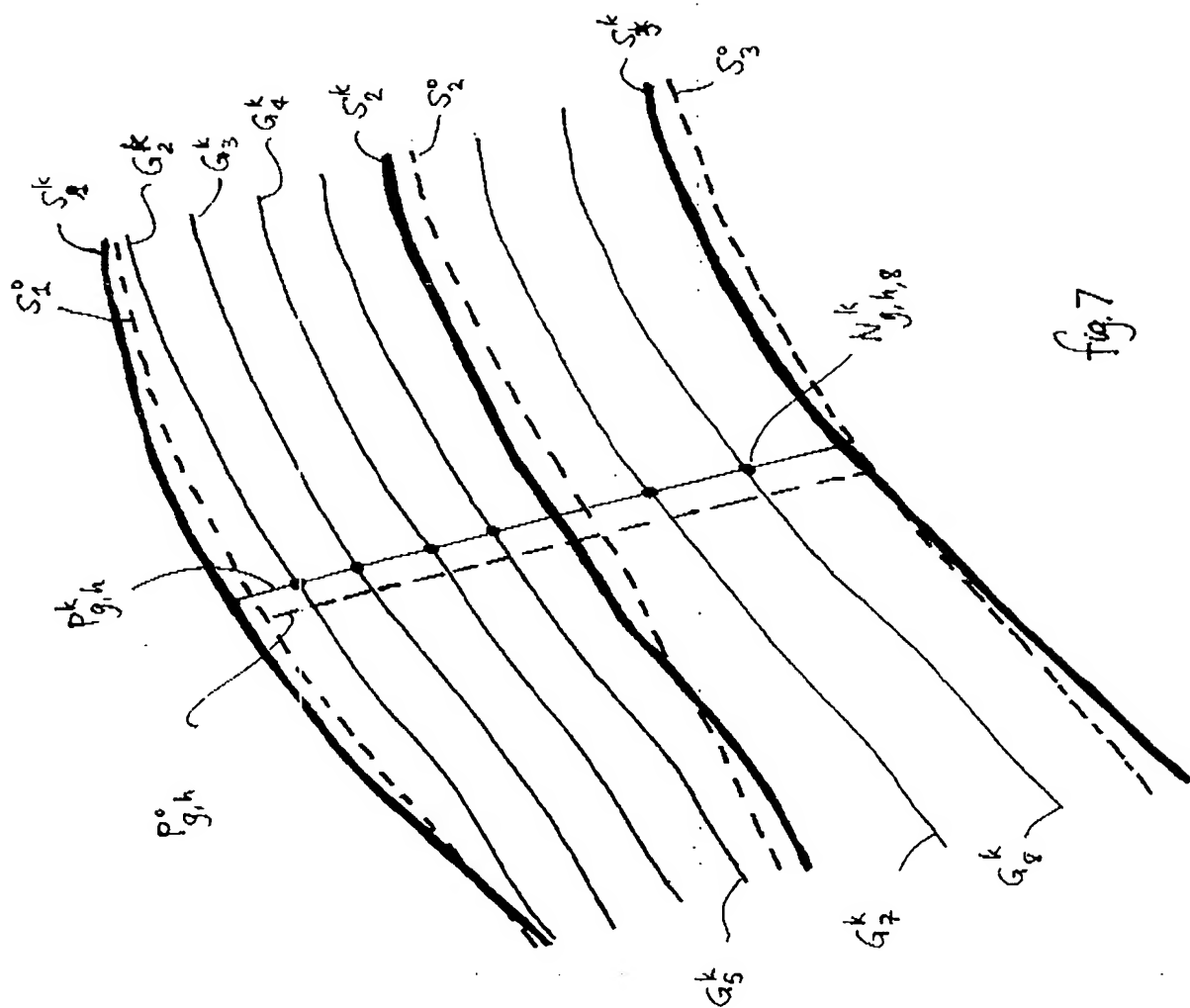


Fig. 6

6/8



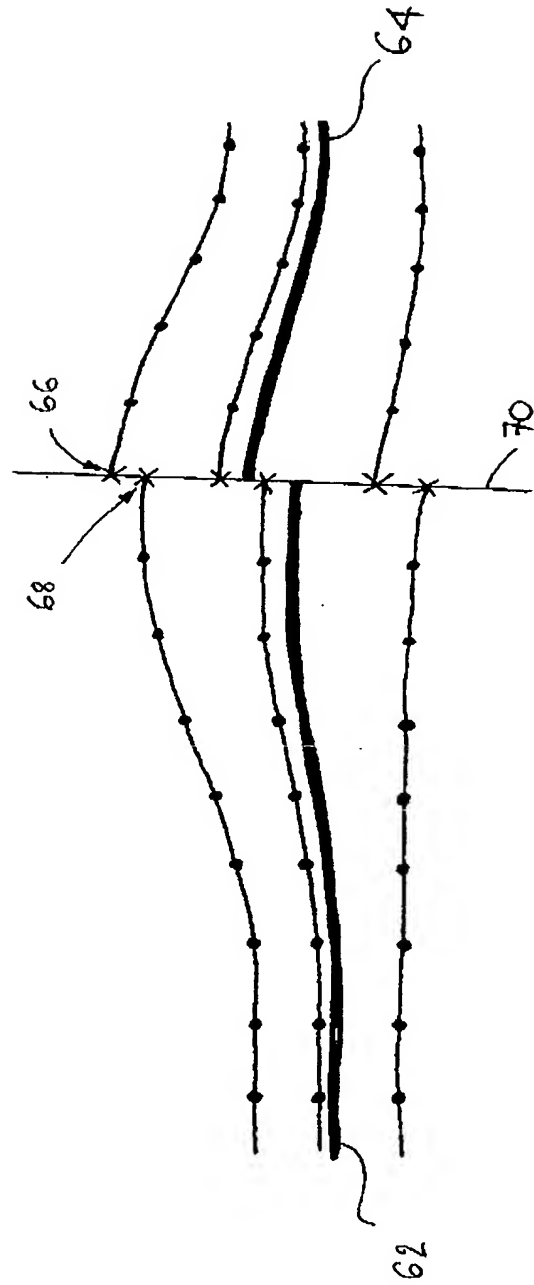


fig. 8

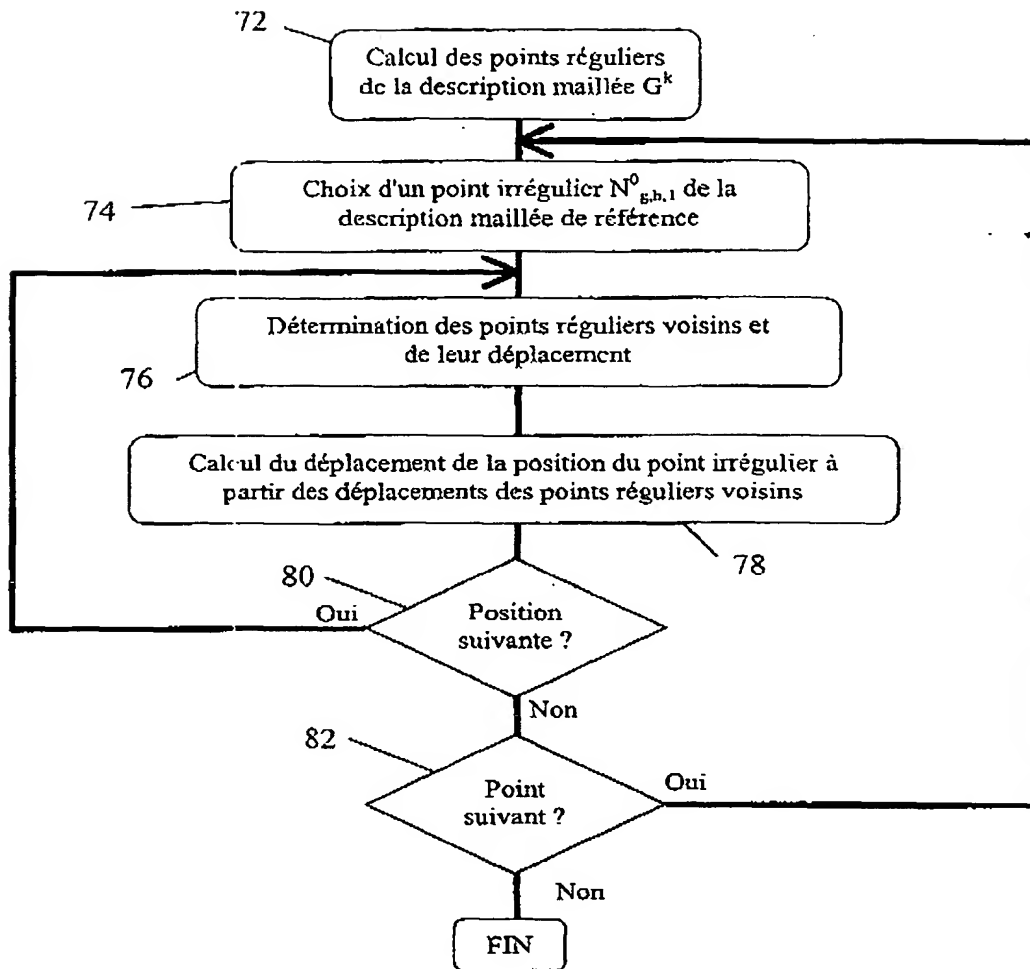


Fig. 9